

第 3 章 透视投影

透视投影是投影几何里面的概念,是一种将三维物体投影在二维平面的方法。

整个图形系统 3D 的概念,以及从 3D 到 2D 的投影,都是基于透视投影和正交投影的(光线追踪除外)。从开发者的角度看,用户最终获得的图像,和创建 3D 场景时输入的顶点坐标、模型视图变换矩阵、投影矩阵紧密相关。所以理解投影背后的设计原理,有助于开发者理解给定输入顶点坐标和投影矩阵,将会获得怎样的输出。理解输入和输出,对 3D 应用的开发者而言,是非常必要的。另外,如果要进行 GPU 设计,或者软件模拟 GPU 的行为,也需要深入理解投影背后的设计。本章介绍 3D 编程中最常用的透视投影,后续章节会介绍正交投影。

虽然本章都是公式推导,但是数学难度并不高。对读者数学上的要求有两点:①高中中的立体几何知识;②矩阵运算的基本知识(甚至都不需要了解矩阵的逆)。本章使用的矩阵运算,一定程度上可以映射到高中的多元一次函数方程组的求解问题。从这个角度看,理解本章的内容,有高中的数学基础就可以了。

前面提到,3D 流水线抽象出了多种坐标空间。透视投影实现的是从眼睛坐标到 NDC 坐标的变换,而眼睛坐标依赖于输入的物体坐标、模型视图矩阵等。所以要分析透视投影,还要考虑模型视图等的影响。模型视图矩阵让问题的分析变得复杂,测试起来也很不方便。针对本章分析透视投影矩阵,一种简化方法是,将模型视图变换设置为单位矩阵,这样的话,物体坐标、世界坐标、眼睛坐标就重合了。但是透视投影的几何模型不受这个简化的影响。

本章讨论的透视投影模型,就是在没有模型变换和视图变换的前提下,如何将眼睛坐标系的点,变换到归一化的 NDC 坐标系。没有模型变换,物体坐标系就是世界坐标系,这一点比较直接。没有视图变换的意思是,使用系统默认的视图变换。视图代表了用户的眼睛(或摄像头)观察 3D 场景的位置和方向。在 GL 或者 Vulkan 里面,眼睛默认在世界坐标系的原点。但是 GL/Vulkan 都可以通过观察函数(一般都叫 lookAt)来修改眼睛的位置和观察方向。使用默认的眼睛位置和观察方向(有些应用程序,例如 Chromium 的合成器,Android 的 SurfaceFlinger 都没有额外设置观察函数),带来的一个好处是,视图变换就是没有位移旋转的变换,也就是单位矩阵。因而视图变换后形成的眼睛坐标系和世界坐标重合了。

这个从眼睛坐标系变换到 NDC 坐标系的变换,需要具有将 3D 内容以合适的方式呈现在 2D 平面上的能力。所谓合适的方式,是指:

- (1) 保持立体感,立体感的本质就是远的物体显得较小,近的对象显得较大。
- (2) 和人眼距离一样的物体,投影后物体间的相对位置不变。

透视投影,就正好满足了这两个条件。

那么,如何求解得到这个透视投影的变换矩阵?

求解一个矩阵,要先理解这个矩阵的输入和输出是什么。透视投影的输入是眼睛坐标(如前述,因为眼睛坐标和物体坐标重合,所以也就是物体坐标)。输出呢?有两种比较直接的选择,一种是输出窗口(本书讨论窗口和视口重合的情况)坐标,这样的坐标是非归一化的。这个选择的缺点是,投影矩阵和窗口系统耦合到了一起。也就是窗口变换了(放大、缩小甚至移动),投影矩阵要重新计算。如果选择输出归一化的坐标呢?那就需要一次额外的窗口变换来将归一化的坐标映射到窗口坐标。GL 和 Vulkan 都选择了归一化的窗口坐标方式。这个归一化的窗口坐标系叫作 NDC 坐标系(normalized device coordinates)。

现在问题变成了:给出眼睛坐标,如何求解出相应的 NDC 坐标?这里的眼睛坐标位于眼睛坐标系(等同于物体坐标系,世界坐标系),NDC 坐标位于 NDC 坐标系(归一化的坐标系)。

但是通过分析发现,透视投影,也就是从眼睛坐标系到 NDC 坐标系的变换,不是一次矩阵运算就能解决的(所谓一次矩阵运算,里面涉及的矩阵可以是多个矩阵的乘积),其中有一个过程甚至引入了非线性部分。这个非线性部分,让整个透视投影变得没那么直观,让 3D 流水线变得更加复杂。

另外,公开的文献在分析透视投影的时候,或者直接给出结论,或者将几何模型和数学算法上的优化混合到了一起,这也让透视投影变得难以理解。

针对透视投影理解上的难点,本章将透视投影的几何模型和数学算法上的优化分开,因而得到了两个模型:透视投影的几何模型、透视投影的透视除法模型。前一个几何模型完全使用初等几何知识推导,重在理解物体和空间的几何关系,因此比较直观。后一个透视除法模型则侧重于数学算法优化。这两个模型降低了学习曲线,能够帮助读者理解透视投影的本质。

本章内容安排如下。

- (1) 左右手坐标系。介绍左右手坐标系的区别。
- (2) 3D 坐标和坐标系。介绍了 3D 坐标的特点及所在的坐标系、坐标系之间的变换。
- (3) 3D 流水线的基本概念。
- (4) 小孔成像。介绍了小孔成像的原理,并根据小孔成像推导出透视投影的模型。
- (5) 透视投影的几何模型。
- (6) 透视投影的透视除法模型。

本章要讨论非常多的坐标,对这些坐标约定如下。

物体坐标: x_o, y_o, z_o 。齐次坐标形式: $x_o, y_o, z_o, 1$ 。

世界坐标: $x_{\text{world}}, y_{\text{world}}, z_{\text{world}}$ 。齐次坐标形式: $x_{\text{world}}, y_{\text{world}}, z_{\text{world}}, 1$ 。

眼睛坐标: x_e, y_e, z_e 。齐次坐标形式: $x_e, y_e, z_e, 1$ 。

裁剪坐标: x_c, y_c, z_c 。齐次坐标形式: x_c, y_c, z_c, w_c 。

归一化的 NDC 坐标: x_n, y_n, z_n 。齐次坐标形式: $x_n, y_n, z_n, 1$ 。

窗口(视口)坐标: x_w, y_w 。

3.1 左右手坐标系

3D 坐标系分为左手坐标系、右手坐标系,如图 3-1 所示。

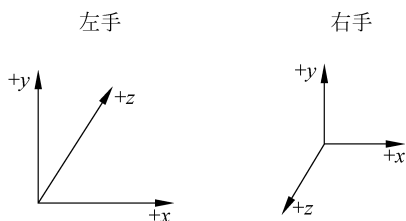


图 3-1 左手坐标系和右手坐标系

3D 接口的主要功能是提供渲染的接口,通常并不强制要求用户使用何种坐标系^①。就像在一张白纸上书写,可以选择从左到右书写,也可以从上到下书写。所以对于一个 3D 程序而言,如果仅仅是为了测试的用途,或者程序完全由个人独立完成,那么使用左手右手坐标系都是可以的。但是考虑多人协作的情况,以及要和第三方程序兼容的情况,就有必要在程序设计之初就约定好该使用何种坐标系。

GL 和 Vulkan 使用的坐标系可能是不同的。本书对坐标系的约定如下。

(1) GL: 物体坐标、世界坐标、眼睛坐标都使用右手坐标系; NDC 坐标和窗口坐标使用左手坐标系。

(2) Vulkan: 物体坐标、世界坐标、眼睛坐标、NDC 坐标和窗口坐标都使用右手坐标系。

就 NDC 而言,GL 使用左手,Vulkan 使用右手,两者 y 坐标相反。此外,GL 的 z 坐标位于 $[-1.0, 1.0]$,Vulkan 的 z 坐标位于 $[0.0, 1.0]$ 。

3.2 3D 坐标和坐标系

用户在代码里面指定的顶点坐标,经过模型、视图、透视投影等变换后,最终显示在 2D 平面(屏幕或者像面)上。这些模型视图透视投影变换,需要用到下面的坐标及坐标系。

(1) 物体坐标和物体坐标系。创建 3D 场景时传入的顶点坐标,就是物体坐标,用 (x_o, y_o, z_o) 表示。虽然用户传入的坐标不包含 w 分量,但是在实际的实现里面,会自动加上 $w=1$,因此使用的还是齐次坐标 $(x_o, y_o, z_o, 1)$ 。一个物体所有坐标点所在的坐标系,就是物体坐标系。

^① OpenGL 标准在 Appendix B 部分提到,OpenGL 并不强制要求程序一定使用某个坐标系。OpenGL 主要是作为一种渲染的接口,它本身不和某个具体的坐标系统绑定。具体使用哪一种坐标系,是一种约定。具体标准 https://www.khronos.org/registry/OpenGL/specs/gl/glspec46_core.pdf。

(2) 世界坐标和世界坐标系。物体坐标乘以模型变换矩阵,就得到世界坐标。世界坐标的齐次形式是 $(x_{\text{world}}, y_{\text{world}}, z_{\text{world}}, 1)$ 。世界坐标的本质是,位于不同物体坐标系的多个物体,最终都要显示在同一个空间的坐标系。这个坐标系,就是世界坐标系。

(3) 眼睛坐标和眼睛坐标系。世界坐标系乘以视图矩阵,得到眼睛坐标。其齐次坐标的 w 分量是1,用 $(x_e, y_e, z_e, 1)$ 来表示眼睛坐标的点。世界坐标到眼睛坐标的变换即视图变换是线性的,可以用通常的位移、旋转、缩放来表达。本章的物体坐标系、世界坐标系、眼睛坐标系三者重合,所以后面都用眼睛坐标系来描述。

(4) 投影坐标。位于眼睛坐标系,是眼睛坐标系的点投影到视景体近平面上产生的。近平面位于眼睛坐标系 $-n$ 处,所以投影点的 z 等于 $-n$ 。通常对于投影坐标只讨论 x 、 y 两个分量, z 分量是常数,没有使用。

(5) 裁剪坐标和裁剪坐标系。裁剪坐标是数学意义上的中间坐标。没必要将这个坐标系和具体的坐标空间联系起来。这里定义的坐标,携带了 NDC 空间坐标计算所需要的信息,但是它本身不是实际的有物理意义的点。之所以把这个坐标叫裁剪坐标,是因为根据裁剪坐标,可以把视景体之外的点裁剪掉。所以相对裁剪坐标的裁剪其实发生在投影之后,透视除法之前。齐次坐标形式是 (x_c, y_c, z_c, w_c) 。后文会分析 w_c 分量的特殊用途,所以并不是1。

(6) NDC 坐标和 NDC 坐标系。裁剪坐标经过透视除法,得到 NDC 坐标。这个坐标是归一化的。其和眼睛坐标的一种可能的关系是, x : $[l, r]$ 到 $[-1.0, 1.0]$; y : $[b, t]$ 到 $[-1.0, 1.0]$; z : $[-n, -f]$ 到 $[-1.0, 1.0]$ 或 $[0.0, 1.0]$ 。NDC 坐标并不要求 gl_Position 输出的值除以 w 之后必须落在 NDC 之内。只是说,落在 NDC 之外的点将会被裁剪掉,所以无法参与后面的光栅化以及显示。齐次坐标形式是: $(x_n, y_n, z_n, 1)$ 。

(7) 窗口坐标和窗口坐标系。将 NDC 坐标映射到和具体窗口尺寸关联的坐标。

为了用方便的方法来表达同一个场景的多个物体(每个物体有自己独特的运动轨迹),抽象出了物体坐标、世界坐标以及实现两个坐标之间变换的模型变换。用户输入的顶点坐标,定义在物体坐标系,所有具有相同模型变换的点组成一个物体空间。这些点,经过同一个模型变换矩阵,变换到世界坐标空间。举个例子,一个场景里面有两个物体,物体1在移动,物体2在旋转。这个时候,我们的场景就位于世界坐标。每个物体会定义自己的物体坐标。对于物体1,在运动好了之后,用它的模型变换矩阵(平移),乘以相应的物体坐标位置,就得到物体在世界坐标的位置。同样,可以用另一个模型变换矩阵(旋转),计算出物体2旋转后的世界坐标。如果用 GL/Vulkan 来实现这个过程,可以在每一帧图像通过两次绘图来实现:第一次的输入是物体1,以及物体1的模型变换矩阵,调用绘图函数。第二次绘图输入的则是物体2及其模型变换矩阵,然后调用绘图函数。再看一个更加实际的例子,Chromium 的合成器 GLRenderer。当系统里面有多个不同的物体,并且它们的模型矩阵各不相同的时候,系统会触发多次绘图,但是每次绘图,都只涉及一个模型矩阵。最后这些绘图合成显示到一个最终的目标上去。所以,对于合成器程序而言,它的顶点有很多组,每组表示一个具体的物体,每组有一个自己的模型变换矩阵。

如果用户没有设置模型变换,物体坐标系就和世界坐标系重合。如果没有设置视图矩阵,世界坐标系和眼睛坐标系是重合的。在没有设置眼睛位置(调用 lookAt 函数)的时

候,默认眼睛位于世界坐标系的原点,朝向坐标系的一z 方向。

图 3-2 列举了透视投影相关的 3D 变换。

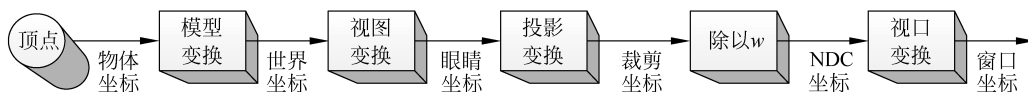


图 3-2 透视投影相关的 3D 变换

3.3 3D 流水线

GL 和 Vulkan 的流水线是类似的,如图 3-3 所示。

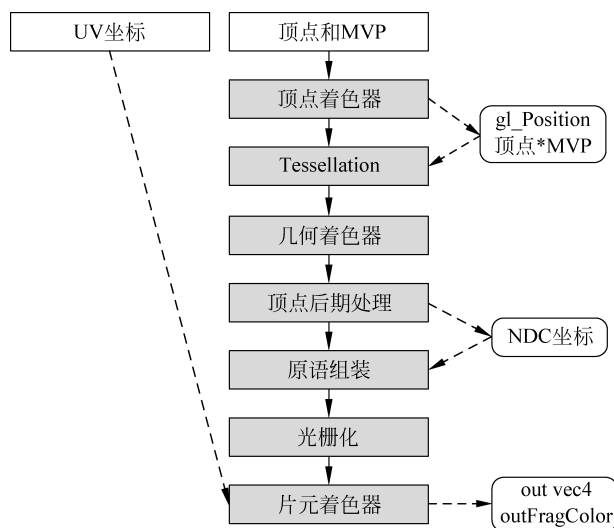


图 3-3 3D 流水线和顶点坐标、MVP、纹理坐标等的关系

用户输入的顶点、MVP 矩阵、纹理以及纹理坐标,和流水线关联的部分主要如下。

(1) 顶点着色器(vertex shader): 根据用户输入的顶点和 MVP 信息,生成裁剪坐标 gl_Position。

(2) 顶点后期处理(vertex post processing): 对顶点着色器输出的 gl_Position 进行透视除法,获得 NDC 坐标,如公式 3-1 所示。然后对 NDC 坐标进行视口变换,获得窗口坐标。

$$\begin{pmatrix} x_n \\ y_n \\ z_n \end{pmatrix} = \begin{pmatrix} \frac{\text{gl_Position. } x}{\text{gl_Position. } w} \\ \frac{\text{gl_Position. } y}{\text{gl_Position. } w} \\ \frac{\text{gl_Position. } z}{\text{gl_Position. } w} \end{pmatrix}$$

公式 3-1 透视除法

在 GPU 里面,透视投影是在顶点着色器和顶点后期处理两个阶段分两步完成的。第一步在顶点着色器里面,将顶点坐标和透视投影矩阵相乘,得到裁剪坐标;第二步,在顶点后期处理阶段,通过固定管线的透视除法得到 NDC 坐标。

(3) 光栅化:获得了图形的窗口顶点坐标后,要根据图形的窗口顶点生成相应的图形,譬如三角形,这个过程就是计算机图形学里面的扫描线算法。这个算法将三角形变成一条条的线,线上的点都是根据顶点插值生成的。每次插值生成线上的一个点,相应生成一个 uv 坐标,这个 uv 坐标对应一个片元,然后将这个 uv 坐标传递给片元着色器(fragment shader),片元着色器通过 uv 坐标对纹理进行采样,并对这个点进行着色。通常也用光栅化来代指基于透视投影和正交投影的 3D 编程模型,以和基于光线传播实现的光线追踪 3D 编程模型区分开。

(4) 片元着色器(fragment shader):对扫描线生成的片元进行着色。颜色可以根据用户在输入顶点时指定的颜色插值生成,也可以来自用户提供的图片相应 uv 坐标位置的像素颜色。

通常用户代码会将 uv 坐标和顶点坐标以及顶点的颜色一起输入,如程序清单 3-1 所示。

程序清单 3-1 uv 坐标的一种输入方式(Vulkan)

```
std::vector<Vertex> vertices =
{
  { { 1.0f, 1.0f, 0.0f }, { 1.0f, 1.0f }, { 0.0f, 0.0f, 1.0f } },
  { { -1.0f, 1.0f, 0.0f }, { 0.0f, 1.0f }, { 0.0f, 0.0f, 1.0f } },
  { { -1.0f, -1.0f, 0.0f }, { 0.0f, 0.0f }, { 0.0f, 0.0f, 1.0f } },
  { { 1.0f, -1.0f, 0.0f }, { 1.0f, 0.0f }, { 0.0f, 0.0f, 1.0f } }
};
```

上面的结构包含四个顶点信息,每个顶点信息包含:顶点坐标、 uv 坐标、顶点颜色。中间的 uv 坐标会和其他的顶点信息一起传递给顶点着色器和片元着色器。这里 uv 坐标就是 $\{1.0f, 1.0f\}$, $\{0.0f, 1.0f\}$, $\{0.0f, 0.0f\}$, $\{1.0f, 0.0f\}$ 。

相应的片元着色器如程序清单 3-2 所示。

程序清单 3-2 片元着色器使用插值后的 uv 坐标

```
layout (location = 0) in vec2 inUV;
```

但是不能将 inUV 和用户顶点里面的四个 uv 坐标直接等同起来。inUV 就是这四个顶点提供的 uv 坐标插值生成的点的集合。请注意,顶点着色器操作的是用户输入的顶点,而片元着色器操作的是通过顶点插值生成的所有点。

$gl_Position$ 和用户指定的顶点(vertex)是一一对应的(前提是顶点没有落在视景体外面)。或者说,物体空间的每一个顶点,在裁剪坐标空间都有一个对应的 $gl_Position$ 。 $gl_Position$ 经过透视除法后,得到 NDC 空间坐标。NDC 空间的点,经过视口变换,得到窗口坐标。总的来说,每个顶点(vertex)都有一个对应的 $gl_Position$,一个 NDC 空间的点。渲染(rasterization)阶段,对顶点坐标组装成的三角形应用扫描线(scanline)算法,插

值得到顶点之外的填充区域的坐标点,并用片元着色器(fragment shader)对这些点进行着色(shading)。

所以顶点着色器是以顶点为单位进行的,一个三角形就是三个顶点,相应的顶点着色器会被调用三次。而片元着色器,是以片元(可以暂时理解为像素)为单位的,也就是最终显示在窗口上面的每个像素,都会执行一次片元着色器(没有多重采样的时候)。两者之间通过 GPU 的扫描线关联起来。

3.4 小孔成像

透视投影和小孔成像的原理是一样的。小孔成像的原理如图 3-4 所示。

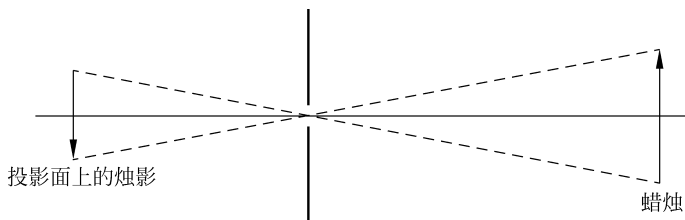


图 3-4 小孔成像

小孔成像的特点如下。

(1) 小孔比较小的时候,蜡烛同一个位置(物点)发出的光线将汇聚在投影面很小的一个范围(近似为一个像点),蜡烛不同位置发出的光线会到达投影面的不同位置,因而不会在屏幕上相互重叠,所以屏幕上的像比较清晰。

(2) 当孔比较大的时候,蜡烛同一个位置发出的光线会分散在投影面的一个区域,蜡烛不同部分发出的光线有可能在投影面的同一个位置上重叠,投影面上的像就不清晰了。如图 3-5 所示,如果孔很大,那么蜡烛两个不同位置发出的光线,可能投影到了投影面的同一个位置。

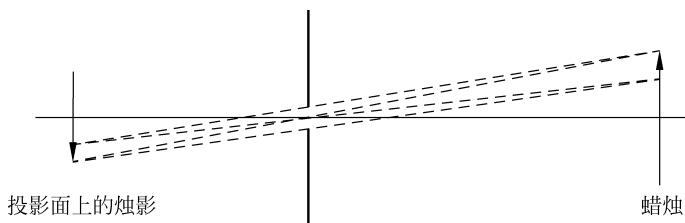


图 3-5 大孔成模糊的像

由于小孔成像画质受孔大小的影响,所以透视投影对小孔成像做了一点假设:透视投影的小孔无限小,小到物体的每个点,只能有一根光线通过小孔。这样的优点是,无论物体到小孔的距离是多少,物体上的每个点都只有一条光线通过小孔,这也就保证了两个点的两条光线,通过小孔后不会发生重叠,因而保证了成像一定是最清晰的。

除了这点假设之外,透视投影的近平面(也就是小孔成像里面的投影面)放在了小孔和物体的同侧。这带来了计算上的便利,但是投影和物体之间的三角形关系并没有改变。唯一改变的是,小孔成像成的是倒立的影像。透视投影,则把这个成像再次倒立了,也就是成为正立的影像。

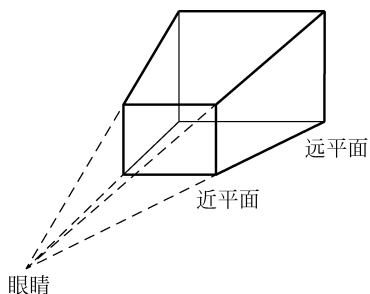


图 3-6 透视投影模型

所以,我们得到的透视投影模型是如图 3-6 所示的:小孔成了眼睛(或者摄像头);投影面成了近平面。蜡烛就是位于近平面和远平面之间的物体,这意味着用户定义的 3D 场景,也需要位于近平面与远平面之间,否则不可见。

所以,我们得到的透视投影模型是如图 3-6 所示的:小孔成了眼睛(或者摄像头);投影面成了近平面。蜡烛就是位于近平面和远平面之间的物体,这意味着用户定义的 3D 场景,也需要位于近平面与远平面之间,否则不可见。

3.5 模型变换和世界变换的意义

物体坐标经过模型矩阵变换之后,变成世界坐标。在世界坐标系中,来自不同物体坐标系的物体,都是相对于同一个世界坐标系原点的。

为什么物体坐标之外,还需要引入一个世界坐标?如果整个场景里面只有一个物体,那么物体坐标和世界坐标是可以重合的。如果场景里面有多个物体,每个物体都有自己的物体坐标,系统可以很方便地对每个物体进行调整,因为局部坐标总是很方便使用的。例如如果以人为中心,要向左旋转自己的胳膊 90° ,这是很容易做到的事情。但是,如果要求以地球为中心,旋转胳膊 90° ,那需要坐飞机绕着地球飞行 $1/4$ 圈。

不过还可以从性能优化的角度,来理解世界变换的意义。

考虑一个情况,也就是用户视角变化,这是常见的场景。

如果没有世界坐标。假设 $M_{\text{obj} \rightarrow \text{view}}$ 直接将物体坐标点变换到视图空间。因为视角变了,所以每个物体的 $M_{\text{obj} \rightarrow \text{view}}$ 都要重新计算,再重新计算物体到视图空间的变换。变换的过程如下。

1. 重新计算每个物体的 $M_{\text{obj} \rightarrow \text{view}}$ (n 次)

这个计算是针对所有物体的,如伪代码 3-1 所示。

伪代码 3-1

```

循环遍历 (物体: 所有的物体) {
    针对每个物体重新计算  $M_{\text{obj} \rightarrow \text{view}}$ ;
}

```

2. 重新计算每个点在视图空间的坐标 P_{view}

针对物体的每个点,计算其在新的视图空间的坐标,如伪代码 3-2 所示。

伪代码 3-2

```

 $M_{vp} = M_{projection} \times M_{obj \rightarrow view};$ 
循环遍历 (点  $P$ : 物体所有的点) {
     $P_{view} = M_{vp} \times P;$ 
}

```

如果有世界坐标, 变换过程如下(视图变换的时候, 物体坐标到世界坐标的变换 $M_{obj \rightarrow world}$ 保持不变)。

- (1) 重新计算世界坐标到视图空间的变换 M_{view} (1 次);
- (2) 重新计算每个点的视图空间坐标 P_{view} , 如伪代码 3-3 所示。

伪代码 3-3

```

 $M_{mvp} = M_{projection} \times M_{view} \times M_{obj \rightarrow world};$ 
循环遍历 (点  $P$ : 物体所有的点) {
     $P_{view} = M_{mvp} \times P;$ 
}

```

综上, 在场景里面有多个不同物体的时候, 世界坐标可以将循环里面的矩阵运算优化到循环外面来, 因而还可以带来性能上的提升。

3.6 透视投影的几何模型

我们将透视投影定义为通过眼睛坐标生成 NDC 坐标的过程。眼睛坐标用于描述 3D 空间的物体, NDC 坐标则可以很容易地线性映射到 2D 平面上。这和 GPU 实现的透视投影行为是一致的。

本章介绍透视投影理论上的几何模型。这个模型没有经过优化, 理论上可以工作, 也能实现眼睛坐标到 NDC 坐标的转换, 但是并没有实际应用到 GPU 流水线。这个模型的价值在于, 它得到的一些结论, 是后文推导优化后实际应用于 GPU 流水线的基础。

在 3.4 节, 根据小孔成像得到了透视投影的基本模型。实际上, 为了减少对输出窗口系统的依赖, 透视投影得到的结果并不是窗口坐标, 而是中间坐标 NDC 坐标。透视投影的视景物通常用 $left(l)$ 、 $right(r)$ 、 $bottom(b)$ 、 $top(t)$ 、 $near(n)$ 、 $far(f)$ 等参数来表示, 如图 3-7(a) 和图 3-8(b) 所示。

虽然只是一个理论模型, 但是也要有相应的坐标系统。所以本章会使用 GL 和 Vulkan 的坐标系统。应注意的是, 仅仅是使用 GL 和 Vulkan 的坐标系统, 而不是说 GL 和 Vulkan 的实现, 使用了本节推导的几何理论模型。

如果使用 GL 坐标系, 透视投影和 NDC 坐标系的关系如图 3-7 所示。图示视景物里面的点 $(l, t, -n)$ 对应 NDC 坐标系的点 $(-1, 1, -1)$, 以此类推。此外, 由于远平面的映射关系和近平面是类似的, 为了排版简洁, 没有标注视景物远平面的点, 相应的 NDC 坐标标注了远平面顶部的两个点。

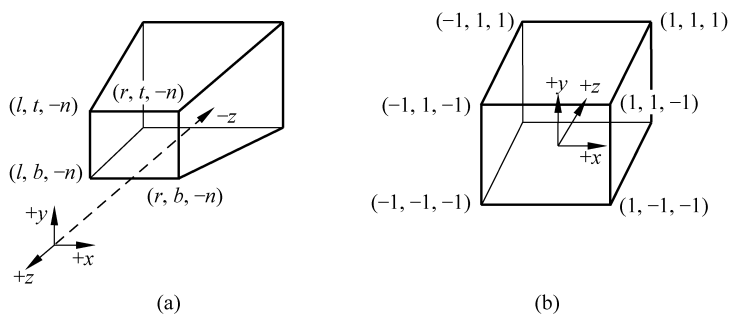


图 3-7 视景体和 NDC 坐标系 (GL)

GL 视景体和 NDC 坐标系的映射关系如表 3-1 所示。

表 3-1 视景体和 NDC 坐标系的关系 (GL)

	视景体	NDC
x	$[l, r]$	$[-1, 1]$
y	$[b, t]$	$[-1, 1]$
z	$[-n, -f]$	$[-1, 1]$

如果使用 Vulkan 坐标系, 视景体和 NDC 坐标系的关系如图 3-8 所示。

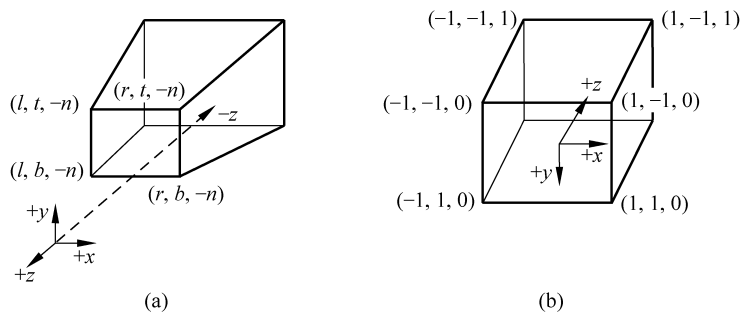


图 3-8 视景体和 NDC 坐标系 (Vulkan)

Vulkan 的映射关系如表 3-2 所示。

表 3-2 视景体和 NDC 坐标系的关系 (Vulkan)

	视景体	NDC
x	$[l, r]$	$[-1, 1]$
y	$[b, t]$	$[1, -1]$
z	$[-n, -f]$	$[0, 1]$

3.6.1 眼睛坐标到投影坐标

如图 3-9 所示, 在物体点 P 和眼睛之间连接一条直线, 直线和投影面 (近平面) 的交